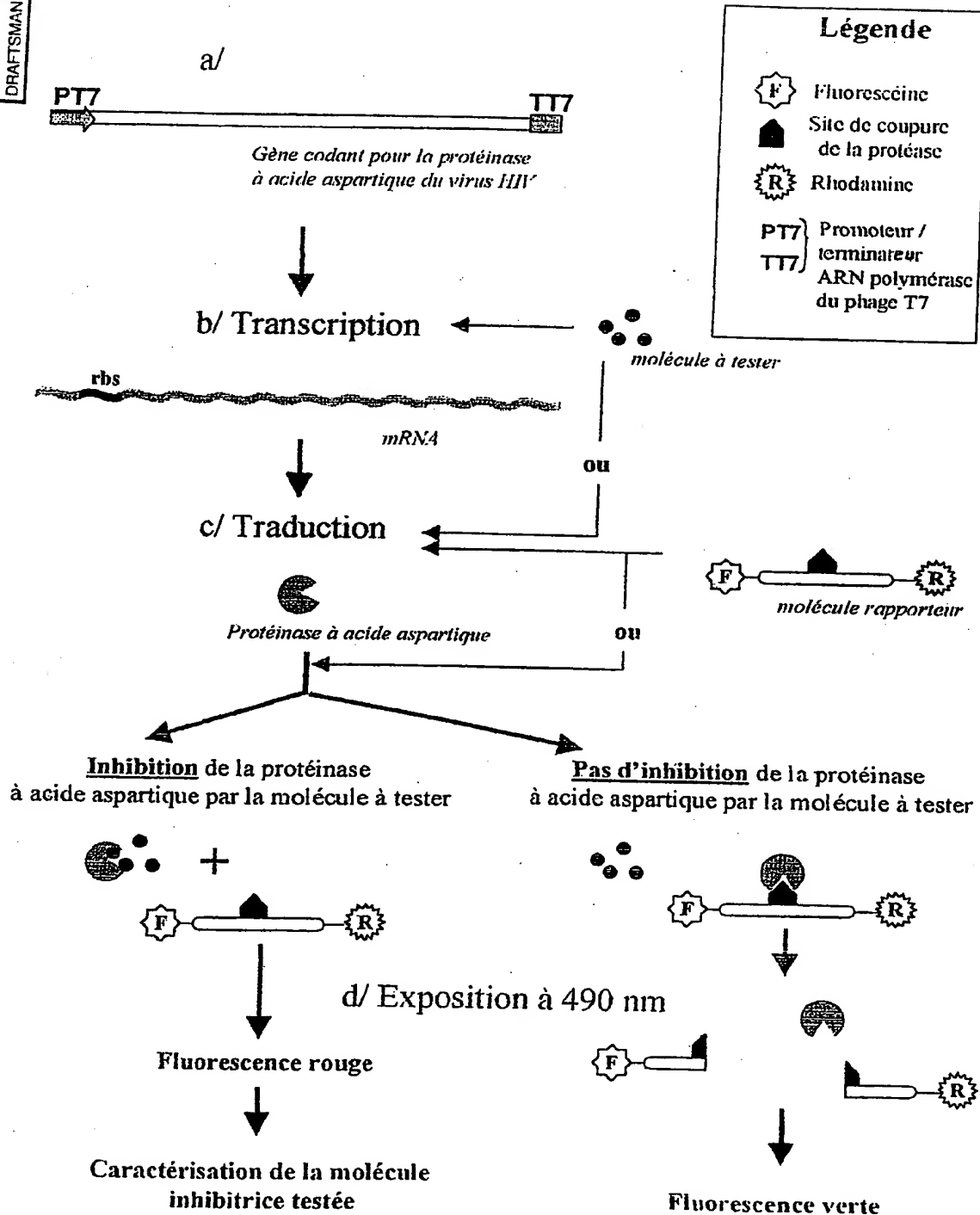


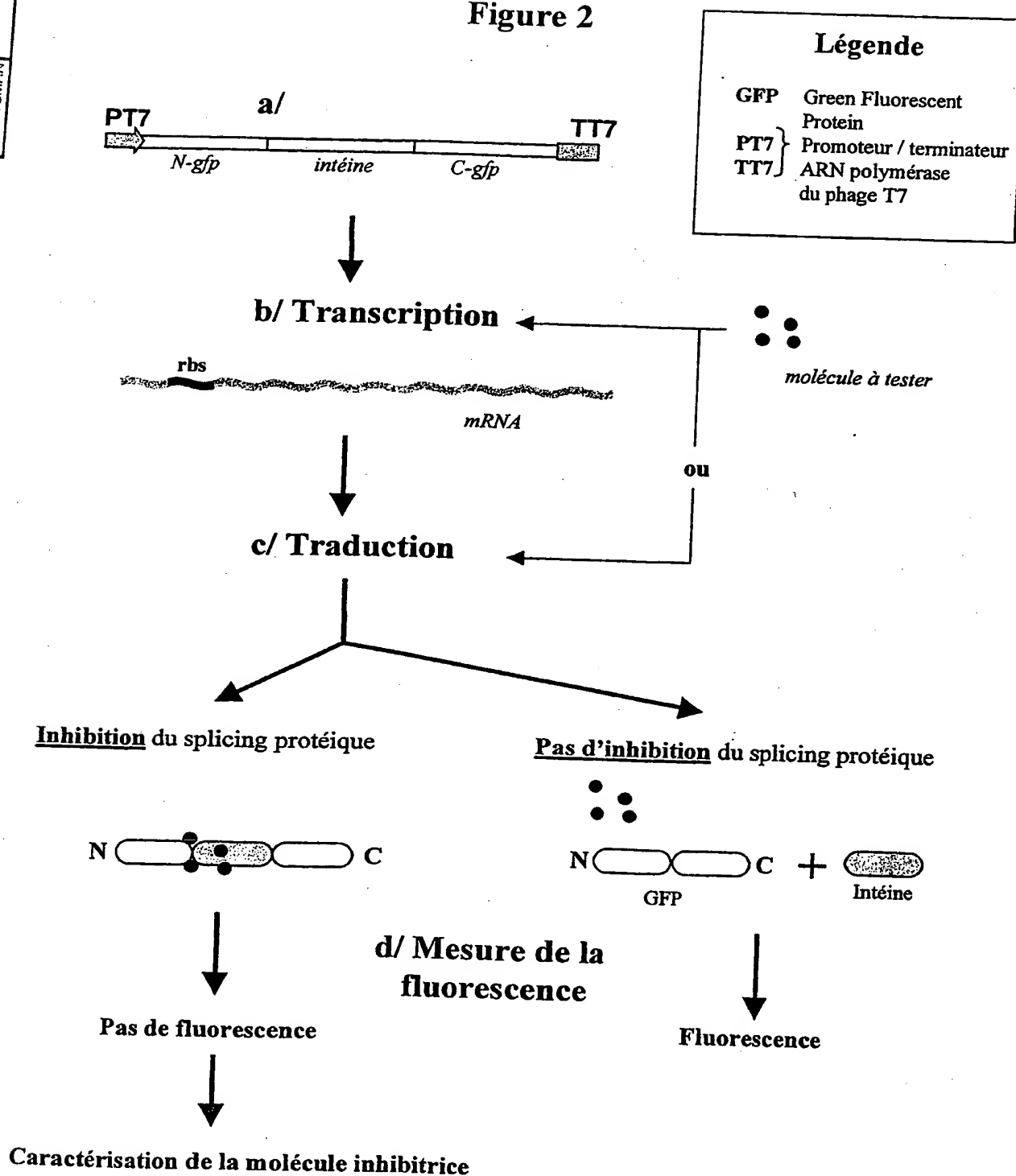
Fig. 1

APPROVED	O.G. FIG.
BY	CLASS SUBCLASS
DRAFTSMAN	



APPROVED	O.G. FIG.
BY	CLASS/SUBCLASS
DRAFTSMAN	

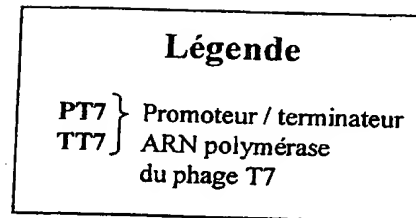
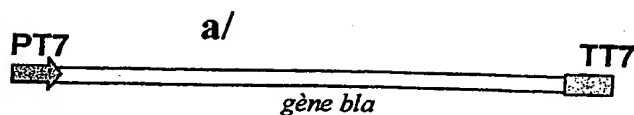
Figure 2



3/8

Figure 3

APPROVED	O.G. FIG.
BY	CLASS/SUBCLASS
DRAFTSMAN	



b/ Transcription



molécule à tester

ou

c/ Traduction

 $\beta$ -lactamaseInhibition de la  $\beta$ -lactamasePas d'inhibition de la  $\beta$ -lactamase

d/ Détection de l'activité  
avec un test  
à la nitrocéphine

Coloration jaune

Coloration rouge

Caractérisation de la molécule inhibitrice

APPROVED	O.G. FIG.
BY	CLASS/SUBCLASS
DRAFTSMAN	

Fig.5

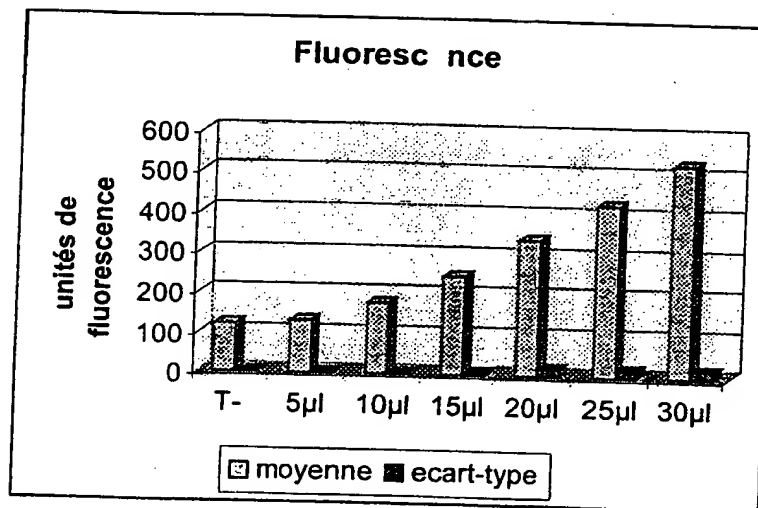


Fig.4

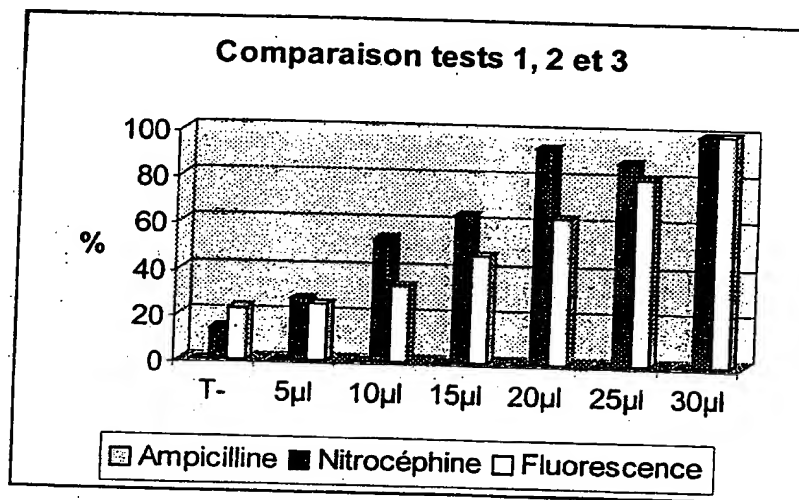
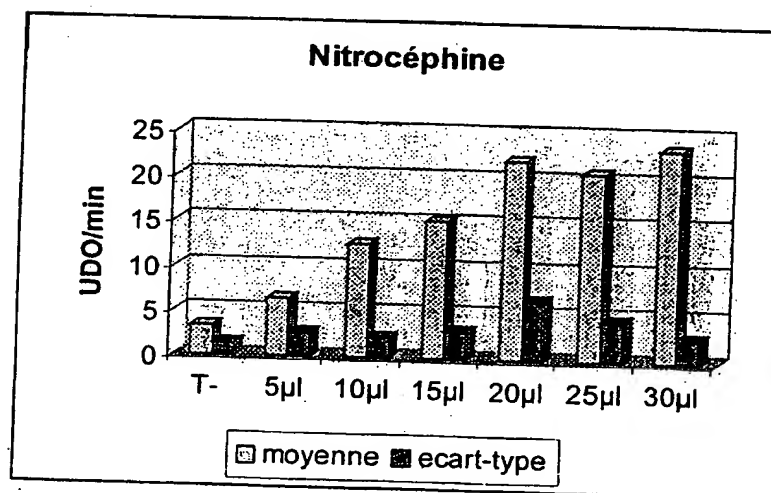


Fig.6



Figures 4 - 5 - 6 : Comparaison de la sensibilité et de la reproductibilité de plusieurs méthodes de détection d'une fonction

APPROVED BY DRAFTSMAN	O.G. FIG.
	CLASS/SUBCLASS

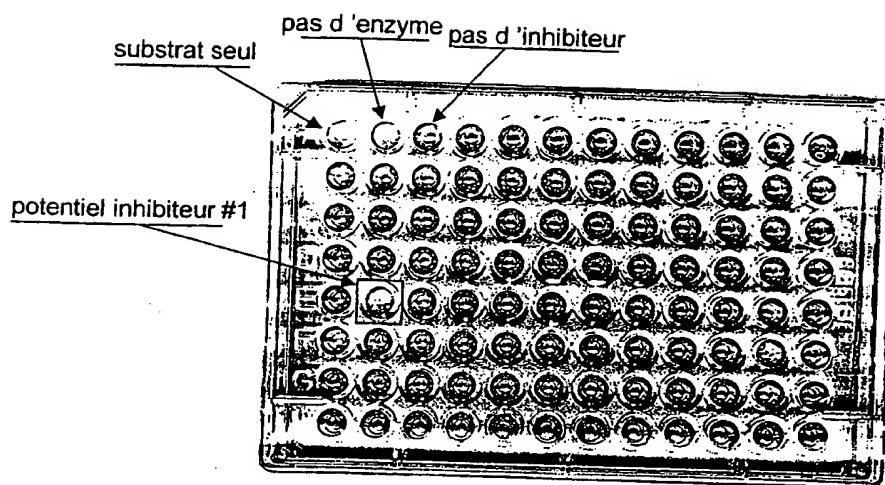


Figure 7 : Effet de différentes substances (0.4µM final) sur la variation d'activité de la beta-lactamase TEM-1

APPROVED BY DRAFTSMAN	O. G. FIG.
	CLASS SUBCLASS

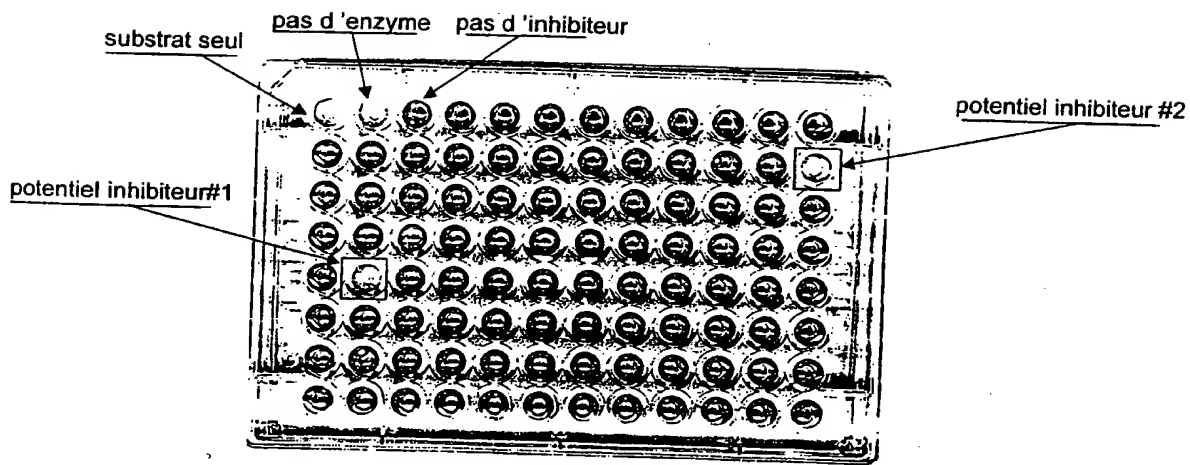


Figure 8 : Effet de différentes substances (21.5µM final) sur la variation d'activité de la beta-lactamase TEM-1

APPROVED BY DRAFTSMAN	O.G. FIG.	
	CLASS	SUBCLASS

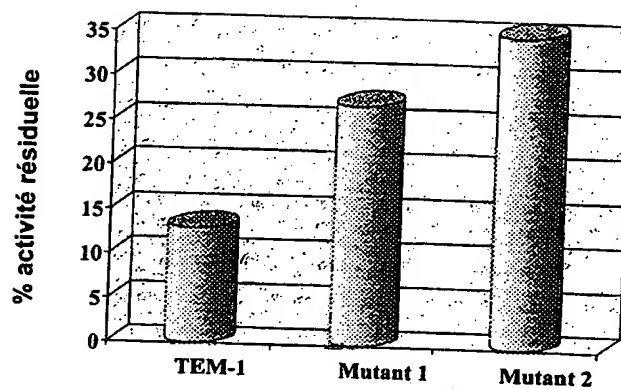


Figure 9 : Caractérisation de la résistance à un inhibiteur

008277 1892260

8/8

APPROVED	O.G. FIG.
	CLASS/SUBCLASS
BY	
DRAFTSMAN	

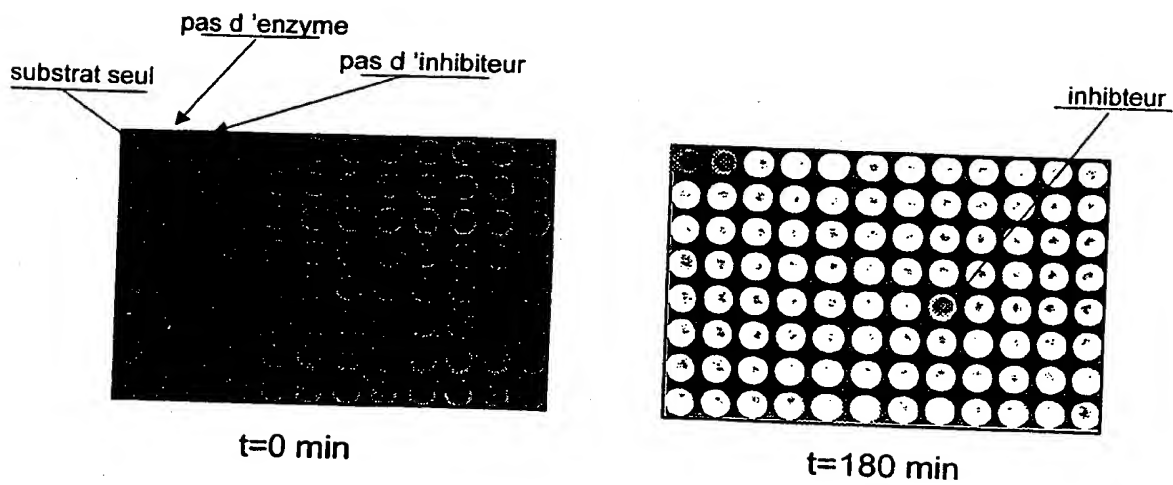


Figure 10 : Effet de différentes substances (2.5µM final) sur la variation d'activité de la protéase du virus HIV-1